УДК 577.37

БИОФИЗИКА

## В. Ф. ПАСТУШЕНКО, Ю. А. ЧИЗМАДЖЕВ

## СТАЦИОНАРНЫЕ СОСТОЯНИЯ ВОЗБУДИМОЙ СРЕДЫ КОНЕЧНЫХ РАЗМЕРОВ

(Представлено академиком А. Н. Фрумкиным 5 IV 1973)

Исследование однородных режимов возбуждения неограниченных нейронных сетей позволило установить, при каких условиях в таких системах существуют нетривиальные решения, соответствующие определенному уровню активности (1, 2). Представляет интерес выяснить, как влияют на «критерий возбудимости» конечные размеры среды. Такая постановка задачи интересна не только для нейронных сетей, но и как некоторый подход к решению вопроса о критической массе при фибрилляции сердечной мышцы, поскольку формально свойства нейрона и синцитиальных клеток как возбудимых элементов близки.

Постановка задачи. Рассмотрим одномерную возбудимую среду, занимающую на оси x область от 0 до 2l. Плотность связей между клетками, расстояние между которыми равно  $\xi$ , зададим функцией  $K(\xi)$ :

$$K(\xi) = N\beta e^{-\beta\xi},\tag{1}$$

где 2N — полное число связей одной клетки в бесконечной среде,  $\beta^{-i}$  — характерная длина связи.

В результате клетки среды в стационарном режиме получают ток I, равный:

$$I(x) = NQ \int_{0}^{2l} a(x') e^{-\beta|x-x'|} \beta dx'.$$
 (2)

Здесь Q — полный заряд, протекающий через контакт за один акт срабатывания; a(x) — высота «столика» распределения клеток по возрасту \* в точке x. Чтобы уравнение относительно этой величины имело более простой вид, упростим свойства отдельного нейрона, а именно: будем считать, что время активности клетки и время ее рефрактерности совпадают и равны T. Порог возбуждения  $\phi$ , будем считать постоянным при  $\tau > T$ . Кроме того, введем кусочно-постоянную память клетки таким образом, что электрическое воздействие «запоминается» жестко на время  $\theta$ , после чего мгновенно «забывается». Если за время, равное памяти, клетка успевает получить заряд больше порогового, то она возбуждается в возрасте  $T + \phi$ . I.

В такой записи емкость мембраны клетки полагается равной единице. Таким образом, получим, что в стационарном режиме «столик» распределения клеток по возрастам имеет высоту

$$a(x) = \left[T + \frac{\varphi_*}{I(x)}\right]^{-1} \eta (I\theta - \varphi_*), \tag{3}$$

тде

$$\eta(u) = \begin{cases} 0, & u < 0 \\ 1, & u > 0. \end{cases}$$

Нашей задачей является совместное решение уравнений (2) и (3). В част-

<sup>\*</sup> Возраст — время, прошедшее с момента последнего возбуждения.

ности, интересно выяснить условия, при которых нет иных решений, кроме тривиальных  $a=0,\,I=0.$ 

Решение. Подставляя (3) в (2), имеем интегральное уравнение для

$$j(z) = TI(z/\beta)/\varphi_*, \ z \equiv \beta x:$$

$$j(z) = \varkappa \int_0^{2\lambda} e^{-|z-z'|} \eta \left[j(z') - j_*\right] \left[1 + \frac{1}{j(z')}\right]^{-1} dz', \tag{4}$$

где  $2\varkappa = 2NQ/\varphi$ . — аналог фактора безопасности,  $\lambda = \beta l$ ,  $j_* = T/\theta$ .

Дважды дифференцируя (4) по z, получим дифференциальное уравнение

$$\frac{d^2i}{dz^2} = j - \frac{2\pi j}{j+1} \, \eta(j-j_*) \equiv f(j). \tag{5}$$

Дополнительные условия к нему можно также получить из (4). Они имеют вид

$$\frac{dj}{dz}\Big|_{z=0} = j(0), \tag{6}$$

$$\frac{dj}{dz}\Big|_{z=\lambda} = 0. (7)$$

Последнее условие является следствием симметрии задачи относительно точки  $z=\lambda.$ 

Как известно, уравнения второго порядка вида (5) решаются в квадратурах. Мы не будем, однако, приводить здесь такое решение, поскольку получаемые при этом формулы не очень наглядны. Вместо этого получим

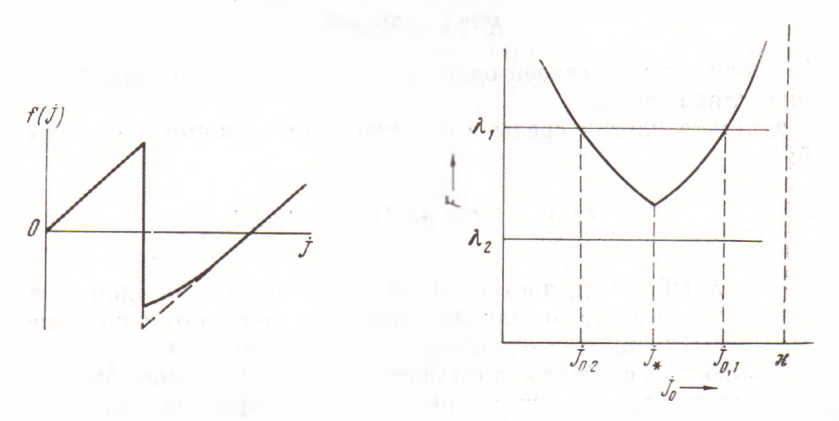


Рис. 1 Рис. 2 Рис. 1. Правая часть уравнения (5) (сплошная линия) и ее аппроксимация (штриховая линия)

Рис. 2. Графическая иллюстрация отыскания тока на краю среды. Решения получаются из пересечений кривой  $F(j_0)$  и горизонтальной прямой с ординатой  $\lambda$ . При  $\lambda > F(j_*)$  имеется два решения,  $\lambda_1$ ; при  $\lambda < F(j_*)$  —

с ординатои л. при л > r (γ\*) имеется два решения, л; при л < r (γ\*) — ни одного, λ2 приближенное решение, основанное на аппроксимации правой части (5) боло учествой пунктичей для показано на прис. 1 пункт

приолиженное решение, основанное на аппроксимации правои части (бу более удобной кусочно-линейной функцией, как показано на рис. 1 пунктиром. Точность такой аппроксимации тем выше, чем большие значения принимает параметр j..

Итак, рассмотрим уравнение

$$\frac{d^2j}{dz^2} = j - 2\kappa\eta (j - j_*). \tag{8}$$

Интегрируя его, с учетом условия (6) получим

$$\frac{dj}{dz} = \sqrt{j^2 - 4\varkappa \left[ (j - j_*) \eta (j_* - j_0) \eta (j - j_*) + (j - j_0) \eta (j_0 - j_*) \right]}. \tag{9}$$

Комбинируя (7) и (9), находим связь между значениями  $j(\lambda) \equiv j_{\lambda}$  и  $j(0) \equiv j_{0}$ :

$$j_{\lambda} = 2\varkappa - 2\overline{\gamma_{\varkappa^{2}} - \varkappa[j_{*}\eta(j_{*} - j_{0}) + j_{0}\eta(j_{0} - j_{*})]}.$$
 (10)

Интегрируя (9) в пределах от 0 до  $\lambda$ , с учетом (10) получим уравнение для неизвестного параметра  $j_0$ 

$$\lambda = F(j_0) \equiv \begin{cases} \ln \frac{j_*}{j_0} - \frac{1}{2} \ln \left( 1 - \frac{j_*}{\kappa} \right), & j_0 < j_* \\ -\frac{1}{2} \ln \left( 1 - \frac{j_0}{\kappa} \right), & j_0 > j_* \end{cases}$$
(11)

На рис. 2 показана правая часть (11) в зависимости от  $j_0$ . Как следует из этого рисунка, решения существуют только при достаточно больших значениях  $\lambda > \varkappa_*$ , причем решений два.

Аналогичная ситуация имеет место обычно в задачах о тепловом взрыве (3), хотя и с некоторым отличием: так, в тепловом взрыве решения исчезают в максимуме F, а не в минимуме, как в данном случае. Соответственно в тепловом взрыве критический размер является максимальным, а

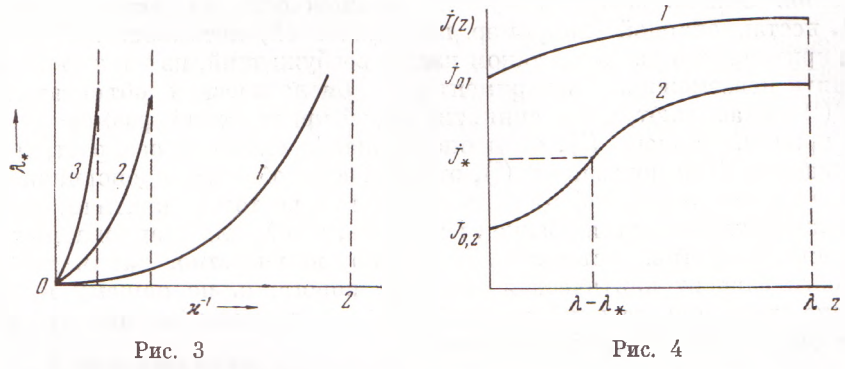


Рис. 3. Зависимость критического размера среды от параметра  $\varkappa^{-1}$ , пропорционально порогу. Значения  $j_*$  на кривых возрастают вместе с номером кривой, начиная с  $j_*=0$ . Пунктиром показаны вертикальные асимптоты

Рис. 4. Изменение тока вдоль среды. 1 — устойчивое решение, 2 — неустойчивое решение

не минимальным, как здесь. Можно думать, что левая ветвь кривой на рис. 2 соответствует неустойчивому решению. Критическое значение  $\lambda_*$ , как следует из (11), определяется соотношением

$$\lambda_* = -\frac{1}{2} \ln \left( 1 - \frac{j_*}{\varkappa} \right). \tag{12}$$

При малых значениях параметра  $j_* \ll 1$  формула (12) неприменима. В этом предельном случае существует другое выражение для  $\lambda_*$ :

$$\lambda_* = \frac{1}{\sqrt{2\varkappa - 1}} \left( \frac{\pi}{2} - \arcsin\sqrt{1 - \frac{1}{2\varkappa}} \right). \tag{13}$$

Зависимость  $\lambda_*(\varkappa)$  изображена на рис. З по (12) и (13) при различных значениях параметра  $j_*$ . Как видно из этого рисунка, минимально допустимое  $\varkappa$ , при котором  $\lambda_* \to \infty$ , увеличивается по мере роста  $j_*$ . При этом характерно, что с увеличением порога нейрона  $\phi_*$  критический размер сети увеличивается.

Что касается зависимости решения от координаты, то из уравнения (9) нетрудно получить соответствующие выражения

$$j = \varkappa (2 - e^{-z}) + (j_0 - \varkappa) e^z, \ j_0 > j_*, \text{ a при } j_0 < j_*$$

$$j = \begin{cases} j_* e^z, \ z < \lambda - \lambda_* \\ 2\varkappa - \varkappa e^{-z + \lambda - \lambda_*} + (j_* - \varkappa) e^{z - \lambda + \lambda_*}, \ z > \lambda - \lambda_*. \end{cases}$$
(14)

Два решения, описываемые (14), показаны на рис. 4. Кривая 7 соответствует такому режиму, когда вся среда возбуждена, причем уровень возбуждения понижается к ее краям. При уменьшении размера среды  $\lambda$  понижается в средней илоскости и активность на границе  $j_0$ , пока  $j_0$  не обратится в ј. Кривая 2 соответствует другому режиму возбуждения среды. Здесь активна только средняя часть среды, а в окрестности границ клетки не возбуждены. При изменении  $\lambda$  средняя часть кривой 2, где i > j, остается неизменной. Меняются только ее краевые ветви, где j < j. По мере уменьшения  $\lambda$  области  $(\lambda - \lambda_*)$  сжимаются и при  $\lambda = \lambda_*$ , когда  $j_0 = j_*$ , решения (1) и (2) сливаются. При  $\lambda < \lambda$ . стационарных решений в системе нет. Естественным образом возникает вопрос о характере электрической активности среды при  $\lambda < \lambda$ . Строго говоря, из приведенного выше анализа вытекает только то, что при  $\lambda < \lambda$ , в системе нет стапионарных режимов возбуждения. Однако вполне допустима возможность существования при  $\lambda < \lambda_*$  нестационарной (например, периодической) активности. Существует ли критический размер в таком классе возбуждений, из нашего анализа выяснить невозможно. Эксперименты на биологических объектах и на ЭВМ (4) показывают, что в синцитии такой критический размер существует, причем, согласно (5), он пропорционален скорости распространения возбуждения. Как показано в (<sup>6</sup>), эта скорость обратно пропорциональна корню квадратному из порога ф., в силу чего с ростом ф. критический размер должен уменьшаться. Выше отмечалось, что  $\lambda$ , для стационарных возбуждений, напротив, растет с ф.. До сих пор не известно, как в действительности зависит критическая масса от порога, и, по нашему мнению, решение этого вопроса приблизило бы нас к пониманию механизма протекания фибрилляции сердечной мышцы.

Институт электрохимии Академии наук СССР Москва Поступило 22 III 1973

## ПИТИРОВАННАЯ ЛИТЕРАТУРА

<sup>1</sup> Л. И. Розоноэр, Автоматика и телемеханика, №№ 5—7 (1969). <sup>2</sup> В. Л. Дунин-Барковский, Биофизика, 16, 700 (1971). <sup>3</sup> Д. А. Франк-Каменецкий, Диффузия и теплопередача в химической кинетике, «Наука», 1968. <sup>4</sup> G. К. Мое, W. С. Rheinboldt, T. A. Abildskov, Am. Heart J., 67, 200 (1964). <sup>5</sup> В. И. Кринский, Проблемы кибернетики, 20, 71 (1968). <sup>6</sup> В. С. Маркин, Ю. А. Чизмаджев, Биофизика, 12, 900 (1967).